



ESTUDIANTE CATHERINE HELLEN CONVÁLEZ CONVALEZ

PROFESOR GLÍA: MCHAEL SILVA ESPINOZA

INTRODUCCIÓN

- En Chile existen mas de 12.500 estructuras viales, 7250 de ellas son puentes.
 - Gran inversión del Estado MQP. en el diseño, construcción y mantención.



Fuente: Recuperado, www.wsp.com/PuenteTrengTreng KayKay



Fuente: Recuperado, www.monumentos.gov.cl/Puente Carlos Ibañez Del Campo



Fuente: Recuperado, http://losrios.mop.cl/Puente Pedro de Valdivia

DETERMINACIÓN DEL PROBLEMA

- Como conocer, analizar, diagnosticar y evaluar las estructuras de puentes para evitar un colapso y caída de ellos.
- La ciencia de investigación industrial ha proveído a la ingeniería en construcción en tipos de ensayos:
 - A) Ensayos Destructivos
 - B) Ensayos No Destructivos.
- BND Tecnología e innovación efectividad y potencialidad en resultados.

Puente Cancura - Chile



Fuente: La tercera (2018), recuperado, www.latercera.com

OBJETIVO GENERAL

Analizar los métodos de END para reconocer el estado real de la estructura del puente Yelcho, enfocado en su plataforma (tablero).

OBJETIVOS ESPECIFICOS

- Catastrar diferentes técnicas de los END.
- Criterios de decisión para aplicación de los END
- Aplicación de los END al caso de estudio en el puente Yelcho.
- Evaluar los resultados de los END.
- Quantificar la vida útil en base a los Ensayos No Destructivos en los resultados.
- Comparar costos de END



Ensayos No Destructivos y su historia.



MARCOTEÓRICO



Fuente: Flickr.com Autor: Miguel A. Becks (2019)

CONCEPTO DE END. "Se denomina ensayo no destructivo (END) a cualquier tipo de prueba practicada a un material que no altere de forma permanente sus propiedades físicas, químicas, mecánicas o dimensionales. Los diferentes métodos de ensayos no destructivos se basan en la aplicación de fenómenos físicos tales como ondas electromagnéticas, acústicas, elásticas, emisión de partículas subatómicas, capilaridad, absorción y cualquier tipo de prueba que no implique un daño considerable a la muestra examinada"

(Ferrer Dalmau, 2019).

METODO DE INSPECCIÓN

Inspección Visual (EV)
Patologías a simple vista

Líquidos y Partículas Penetrantes (LP).
Daños superficiales

Partículas Magnéticas (PM)

Corriente - Detección de discontinuidades superficiales

ENDConvencionales

Utrasonido (US)

Ondas -Velocidad máxima de sonido y la densidad del Material. (onda baja 🔟 calidad del hormigón es baja)

Radiografía Industrial (RI)

Defectos no Visibles - Rayos X, Rayos gama y neutrones.

Método de Corriente Inducida (CI).

Inducción de Corriente - Discontinuidades de volumen de profundidad.

METODO DE INSPECCIÓN

ENSAYOS MÁS HABITUALES PARA ESTRUCTURAS DE PUENTES ENCHLE

- Magnéticos Espesor de Recubrimiento
- Radares de Penetración GPR para armaduras y hormigón
- Esclerómetricos Resistencia del Hormigón
- Potencial Béctrico corrosión
- Velocidad de Corrosión
- Profundidad de Carbonatación
- Resistividad Superficial del Hormigón
- Utrasonido Profundidad de Grietas Espesor de Aceros
- Condiciones Ambientales incluido nivel de CO2 –
- Humedad Superficial
- Hormigón Permeabilidad in-situ Hormigón



Fuente: Flickr.com Autor: Miguel A. Becks (2019)

DESCRIPCIONINSTRUMENTALES

Radiografía Equipo FerroScan PS200, scanner de alta tecnología electromagnética detecta profundidad, espaciamiento y dimensión de las barras de acero – posición y tamaño – corrosión.

Equipo FerroScan PS200



Fuente: BDL (2020), Recuperado de http://www.dbl.cl

Equipo FerroScan PS200



Fuente: BDL (2020), Recuperado de http://www.dbl.cl

Equipo FerroScan PS200



Fuente: BDL (2020), Recuperado de http://www.dbl.cl

Radiografía - Equipo FerroScan PS1000 con tecnología Ground Penetration Radar (GPR) - 2D -3D detecta, huecos, nidos, y cavidades.

Equipo FerroScan PS1000



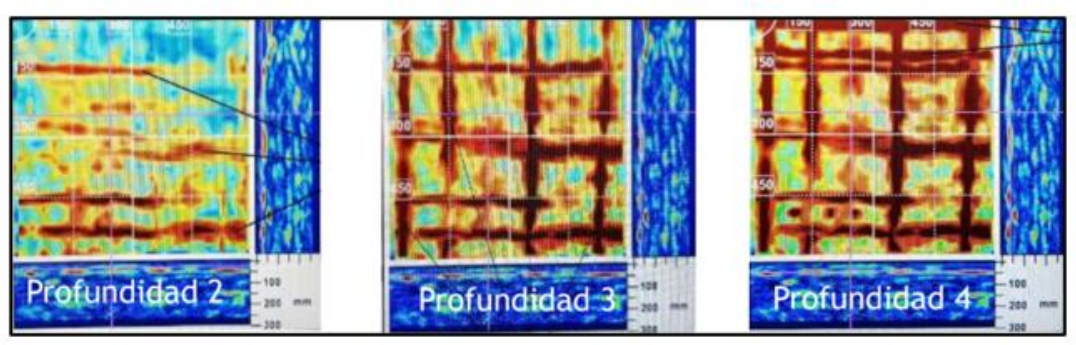
Fuente: BDL (2020), Recuperado de http://www.dbl.cl

Equipo FerroScan PS1000



Fuente: BDL (2020), Recuperado de http://www.dbl.cl

Equipo FerroScan PS1000



Fuente: BDL (2020), Recuperado de http://www.dbl.cl

METODO DE INSPECCIÓN

Martillo Schmidt índice esclerómetrico del hormigón

Estima la Resistencia al Hormigón / ASTM C805 (ASTM C805 (2018): "Standard Test Method for Rebound Number of Hardened Concrete") Y NCH 565 (2009)

Equipo Martillo Schmidt



Fuente: Proseq (2017), Recuperado de http://screeningeagle.com

Equipo Martillo Schmidt



Fuente: Proseq (2017), Recuperado de http://screeningeagle.com

Nvel de corrosión del acero Equipo Gatec Icor Tecnología Inalámbrica avanzada

- La tasa de corrosión de las barras de acero. (grado de corrosión)
- El potencial de corrosión de las barras de refuerzo, según ASTM C876. (posibilidad de corrosión)
- Resistividad Eléctrica superficial al hormigón.

Equipo Giatec Icor



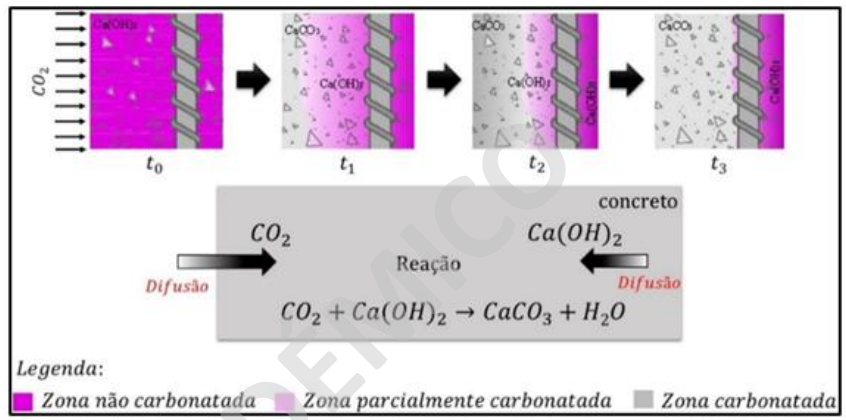
Fuente: Gatec (2022), Recuperado de http://www.giatecscientific.com

Equipo Giatec Icor



Fuente: Giatec (2022), Recuperado de http://www.giatecscientific.com

Proceso Carbonatación



Fuente: Revista ALCONPAT, (2017), Recuperado http://www.scielo.org.

Ensayo Pulso ultrasónico.

Norma: ASTMC 597, 2016

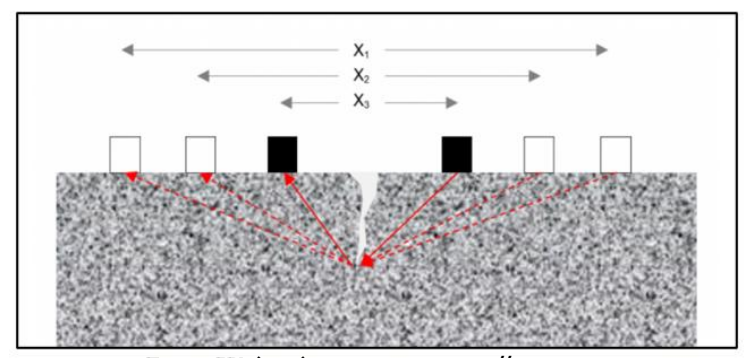
- Mide el tiempo de demora de un pulso
- (frecuencias 20 y 15 kHz)
- Vibración Longitudinal
- Emisor Tx Receptor Rx

Equipo Ultrasónico



Fuente: BDL (2020), Recuperado de http://www.bdl.cl

Evaluación de la calidad y la uniformidad, y la estimación de profundidad de grietas. $Grieta\ Hormig\'on$



Fuente: BDL (2020), Recuperado de http://www.bdl.cl

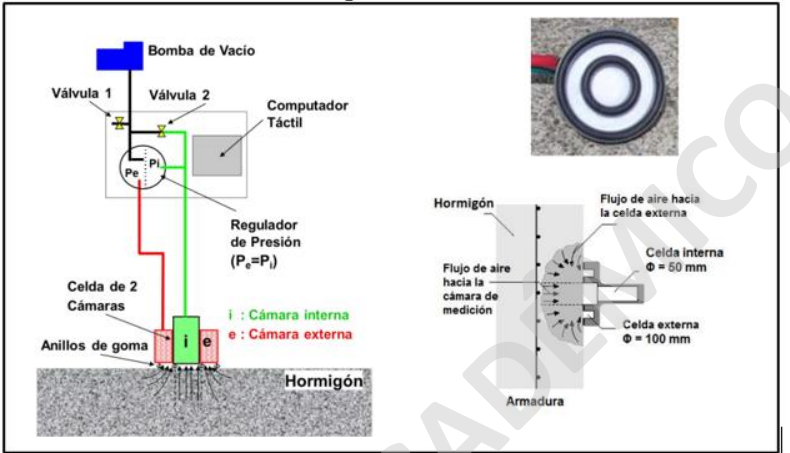
METODO DE INSPECCIÓN

Proceso Maquina PermeaTORR

Permeabilidad al Aire Equipo PermeaTORR

Equipo de complemento a los

ensayos - Condiciones Ambientales



Fuente: Construtechnik, (2021), https://www.construtechnik.cl



Equipo PermeaTORR

Fuente: Construtechnik, (2021), https://www.construtechnik.cl

Equipo AZ7755



Fuente: BDL (2020), Recuperado de http://www.bdl.cl

Equipo - Humedad Superficial para Hormigones

Ensayo Espesor de Aceros. El Cometer 204 Gel Acoplante

Se basa en tiempo que tarda un pulso de sonido generado por el generador ultrasónico, atraviesa la pieza hasta que encuentra una discontinuidad.

Equipo TRAMEX



Fuente: BDL (2020), Recuperado de http://www.bdl.cl

Equipo Medición de Espesor



Fuente: BDL (2021), Recuperado de http://www.bdl.cl



CRITERIOS PARA APLICACIÓN DE BND

Oportunidad

Proporcionan beneficios de información al desgaste

Adecuación

Deben ser vinculantes a la realidad que se requiere

Oferta tecnológica

Existen Varios - Investigar sobre el mas eficaz

Valores

Estudio de mercado y el tiempo que toma

Selección por naturaleza

Defectos y ensayos a utilizar

METODOS DE END PARA "TABLERO"- PUENTES DE HORMIGON												
	IN SPECCION VISUAL	PERMEABILIDAD AL AIRE DEL HORMIGON	NIVELES DE CORROSION ICOR	CARBONATACION	RADIGRAFIA (ACERO) FERROSCAN PS200	POTENCIAL DE CORROSION DEL HOMIGON	INDICE ESCLEROMETRICO DEL HORMIGON	RADIOGRAFIA PS1000 (GPR)	RESISTIVIDAD ELECTRICA DEL HORMIGON	Velocidad de pulso ultrasónico	TERMOLOGIA INFRAROJA	PROFOMETER
EVALUAR CONDICION GENERAL SUPERFICIAL	×											
LOCALIZACION DEL ACERO					×						\vdash	x
PROFUNDIDA DEL ACERO					×							
DISTANCIAMIENTO DE BARRAS DE ACERO					×							
CORROSION DEL ACERO			×	X		X			×			
RECUBRIMIENTO DEL REFUERZO												
DIAMETRO DEL ACERO					×							X
GRIETAS: de esqeuina/ longuitudinales / transversales	×										X	
FISURAS	X									X	X	
POROSIDAD	×	×							×			
RESISTENCIA A COMPRECION AL HORMIGON		v					X			×	-	
DURABILIDAD DEL HORMIGON NIDOS DE HORMIGON		×						×			-	
HUECOS DEL HORMIGON								÷				
CAVIDADES DEL HORMIGON								-				
DESCASCARAMIENTO	×							<u> </u>				
DESPRENDIMIENTO SUPERFICIAL		×									×	
DEFECTOS INTERNOS DEL HORMIGON		×									 	
DELAMINACIONES DEL HORMIGON								×		×	×	
DISCONTINUIDADES										X		
CLORUROS Y CARBONATACION				Х								

Fuente: Baboración propia



CRITERIOS PARA APLICACIÓN DE ENSAYOS

• Selección por naturaleza

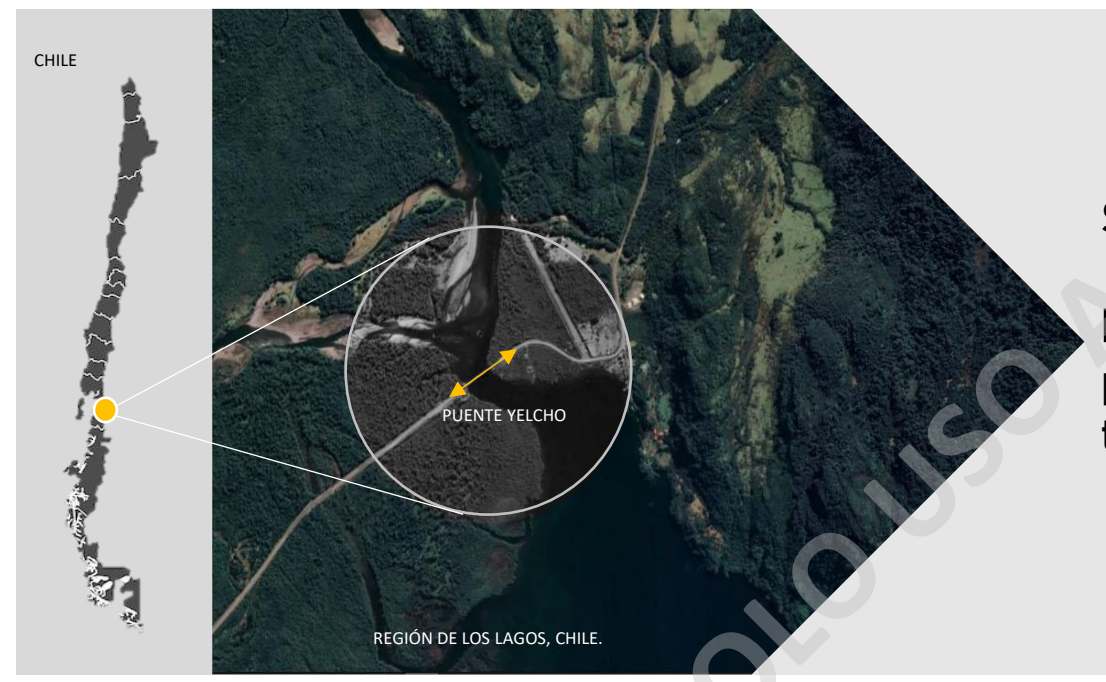
	INSPECCION PR	ELIMINAR DE LA ESTRUCTURA		- II	
Datos generales de la estru Tipo de Estructura Edificación		ción básica de los componentes		Topografia del terreno Plano □	
Puente Muelle				Lomerio □	Cerca de río 0
Muro de Contención				II	
Tanque de Almacenamiento				Otro:	
Plataforma petrolera Silo				Levantamento de daño	e.
Otro		_			
Fecha de construcción de la	estructura:			Tablero Fecha probable de la apa	rición de daños:
Uso general de la estructura	:			Reparaciones anteriore Si 🗆 Fecha:	
Historial de Vida en Servici 1. Fecha de puesta en servici 2. Paristoncia del harmigón	io:	:		Tipo de daño Grieta o fisura □	Red de grietas □ Gel d
Anomalías observadas du	rante la construcción:	·		Manchas de óπido □	
				Delaminación 🗆	Intemperismo □
	~ .			Junta de construcción □	Parcheo de reparación
Edad de la construcción (a 0-5 □ 6-10□	11 – 15 🗆	16-20 □ M	layor a 21 □	Marcaje de grietas: Si □ Fecha:	
0-5 0 6-100	11 – 15 🗆	en elementos (cm):	•	Si □ Fecha:	
0 - 5	11 – 15 □ brimiento de concreto e	en elementos (cm):	íayor a 21 □ íayor a 5.0 □	Si □ Fecha:	
0 - 5	11 – 15 □ brimiento de concreto e 2.6 – 5.0	en elementos (cm):	•	Si Fecha: Tipo de grieta: Longitudinal	Transversal
0 - 5	11 – 15 □ brimiento de concreto e 2.6 – 5.0	n elementos (cm): N. Tabique rojo macizo Bloque de concreto macizo	Tabique de concreto	Si	Transversal
0 - 5	11 – 15 □ brimiento de concreto e 2.6 – 5.0	n elementos (cm): N Tabique rojo macizo	Tabique de concreto	Si Fecha: Tipo de grieta: Longitudinal Combinación Especi Ancho de grieta (mm): 0.08 - 0.15	Transversal 0.20 - 0.30 0.33
0 - 5 □ 6 - 10 □ Espesor promedio de recu 0 - 2.5 □ Tipo de construcción: Concreto reforzado □ Bloque de concreto hueco □ Bloque de barro extruído □	11 – 15 🗆 brimiento de concreto e 2.6 – 5.0	n elementos (cm): Tabique rojo macizo Bloque de concreto macizo Otro:	Tabique de concreto Adobe	Si Fecha: Tipo de grieta: Longitudinal Combinación Especi Ancho de grieta (mm): 0.08 - 0.15 Longitud de grieta (cm)	Transversal 0.20 - 0.30 0.33
0-5	11 – 15 🗆 brimiento de concreto e 2.6 – 5.0	n elementos (cm): N. Tabique rojo macizo Bloque de concreto macizo	Tabique de concreto Adobe	Si Fecha: Tipo de grieta: Longitudinal Combinación Especi Ancho de grieta (mm): 0.08 - 0.15 Longitud de grieta (cm) 0 - 5 C	Transversal 0.20 - 0.30
0 - 5	11 – 15 □ brimiento de concreto e 2.6 – 5.0 □ Construc	n elementos (cm): Tabique rojo macizo Bloque de concreto macizo Otro:	Tabique de concreto Adobe	Si Fecha: Tipo de grieta: Longitudinal Combinación Especi Ancho de grieta (mm): 0.08 - 0.15 Longitud de grieta (cm) 0 - 5 Causa del daño: Ambiente Causa	Transversal 0.20 - 0.30
0 - 5 □ 6 - 10 □ Espesor promedio de recu 0 - 2.5 □ Tipo de construcción: Concreto reforzado □ Bloque de concreto hueco □ Bloque de barro extruído □ Forma de construcción: Autoconstrucción: Existen planos disponible:	11 – 15 □ brimiento de concreto e 2.6 – 5.0 Construc s y sus cálculos:	n elementos (cm): Tabique rojo macizo Bloque de concreto macizo Otro:	Tabique de concreto Adobe Adobe	Si Fecha: Tipo de grieta: Longitudinal Combinación Especi Ancho de grieta (mm): 0.08 - 0.15 Longitud de grieta (cm) 0 - 5 Causa del daño:	Transversal 0.20 - 0.30
0 - 5 □ 6 - 10 □ Espesor promedio de recu 0 - 2.5 □ Tipo de construcción: Concreto reforzado □ Bloque de concreto hueco □ Bloque de barro extruído □ Forma de construcción: Autoconstrucción: Existen planos disponible:	11 – 15 □ brimiento de concreto e 2.6 – 5.0 Construc s y sus cálculos: No □	m elementos (cm):	Tabique de concreto Adobe Adobe	Si Fecha: Tipo de grieta: Longitudinal Combinación Especi Ancho de grieta (mm): 0.08 - 0.15 Longitud de grieta (cm) 0 - 5 Causa del daño: Ambiente (Agentes fisicoquímicos	Transversal 0.20 - 0.30
Espesor promedio de recu 0 - 2.5 Tipo de construcción: Concreto reforzado Bloque de concreto hueco Bloque de barro extruído Forma de construcción: Autoconstrucción Existen planos disponible:	11 – 15 □ brimiento de concreto e 2.6 – 5.0 Construc s y sus cálculos: No □	m elementos (cm):	Tabique de concreto Adobe Adobe	Si Fecha: Tipo de grieta: Longitudinal Combinación Especi Ancho de grieta (mm): 0.08 - 0.15 Longitud de grieta (cm) 0 - 5 Causa del daño: Ambiente (Agentes fisicoquímicos (Trepidante y/o	Transversal 0.20 - 0.30
0-5	11 – 15 □ brimiento de concreto e 2.6 – 5.0 Construc s y sus cálculos: No □ en contacto con la estru	m elementos (cm):	Tabique de concreto Adobe Adobe	Si Fecha: Tipo de grieta: Longitudinal Combinación Especi Ancho de grieta (mm): 0.08 - 0.15 Longitud de grieta (cm) 0 - 5 Causa del daño: Ambiente (Agentes fisicoquímicos	Transversal 0.20 - 0.30
Espesor promedio de recu 0 - 2.5 Tipo de construcción: Concreto reforzado Bloque de concreto hueco Bloque de barro extruído Forma de construcción: Autoconstrucción Existen planos disponible: Si Agentes Físico — químicos Ambiente: Rural L	to the structure of the	m elementos (cm): Maria M	Tabique de concreto Adobe Adobe iixta	Si Fecha: Tipo de grieta: Longitudinal Combinación Especi Ancho de grieta (mm): 0.08 - 0.15 Longitud de grieta (cm) 0 - 5 Causa del daño: Ambiente (Agentes fisicoquímicos (Trepidante y/o	Transversal 0.20 – 0.30 0.33 - 0.

opografia del terreno Plano □	Inclinado □	Modificaciones a taludes □	,			
Lomerío 🗆	Cerca de río □	Zona de inundación		Croquis - Tipificación de daños y loc	alización en la estructura.	
Otro:		Zolla de limitationen Z				
evantamento de daños:						
ablero						
echa probable de la apario	ción de daños:					
deparaciones anteriores: i□ Fecha:		□ No se sabe □				
ipo de daño rieta o fisura □ I	Red de grietas 🗆 Gel de exud	sción □ Eflorescencia □				
fanchas de óπido □	Manchas de humedad □ Pro	tuberancia Concreto Fofo	0			
elaminación 🗆	Intemperismo □	Cangrejeras □ Jur	nta de dilatación 🗆			
anta de construcción 🗆	Parcheo de reparación □ Dtr	0:				
farcaje de grietas: i □ Fecha:	no	0				
ipo de grieta: ongitudinal □	Transversal □	Cortante 🗆				
ombinación 🗆 Especifiq	que:					
ncho de grieta (mm): .08 – 0.15 □	0.20 - 0.30	0.60 - 1.00	1.25 o mayor □			
ongitud de grieta (cm): – 5 □	6-10	16 – 20 □ mayor	a 20 □			
ausa del daño: mbiente □ Agentes fisicoquímicos y l (Trepidante y/o os		□ Vibrac riales y mala supervisión)	ciones 🗆	Evaluador:	Fecha:	
xtensión v gravedad de l	los daños:					
nsayos mínimos a realiz	ar					

Fuente: Baboración propia



LLGAR DE ESTUDIO PLENTE YELOHO



Situado en la región de Los Lagos, provincia de Palena KM246 Ruta 7.

Primer puente atirantado en Chile, construido de hormigón armado, puesto en marcha en 1990, con una longitud es de 250 mts., con un tramo central y dos tramos laterales

LLCAR DE ESTUDIO PUENTE YELOHO





MENTO GRANZOSYNEVE ALTATEMPERATURA MENTO

LLUMA HELO DESHELO LLUMA



Fuente: Rickr.com Autor: Ishi (2016)



Permeabilidad al Aire del Hormigón

La permeabilidad al aire es medida con el equipo Torrent de la marca Proceq, norma Suiza SIA 262/1.

Bomba de vacío con doble cámara (succión) se utiliza con una unidad de comando + Poroso expulsa mas aire

Entre mas profundo (L) - kt negativo malo.

Categoría de la calidad del hormigón

П	Categoría	Permeabilidad	kT (10 ⁻¹⁶ m ²)
П	Muy Malo	Muy Alta	> 10
П	Malo	Alta	1.0 - 10
П	Normal	Moderada	0.1 - 1.0
Ш	Bueno	Baja	0.01 - 0.1
Ш	Muy Bueno	Muy Baja	< 0.01

Fuente: Manual Durar (2000).

Los datos entregados por el equipo Torrent son el coeficiente de permeabilidad (kT) y la profundidad de penetración (L) del vacío.

Ensayo Permeabilidad Tablero parte inferior Puente Yelcho



Fuente: Archivo Área de Hormigones - LNV (2018).



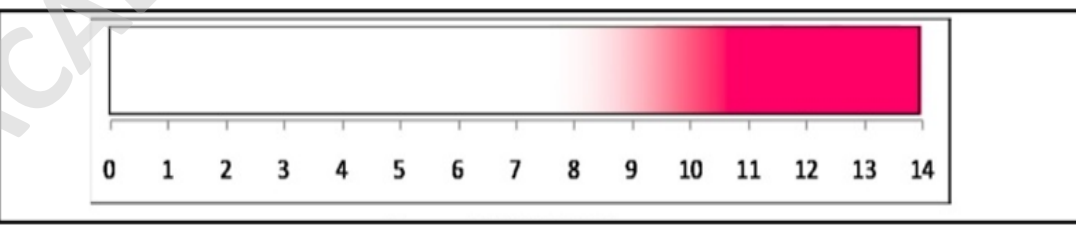
Carbonatación:

La Carbonatación es la reducción de la alcalinidad normal del hormigón por efecto del CO2 presente en el ambiente que lo rodea. (pH normal del hormigón entre 12 y 14).

Norma ASTME 165.

En ambientes húmedos, el CO2 reacciona con los álcalis (hidróxidos de calcio, sodio y potasio), neutralizándolos y formando carbonatos disminuyendo el pH por debajo de 10, aumentando el riesgo de corrosión de las armaduras.

Escala de pH según color post aplicación de fenolftaleína

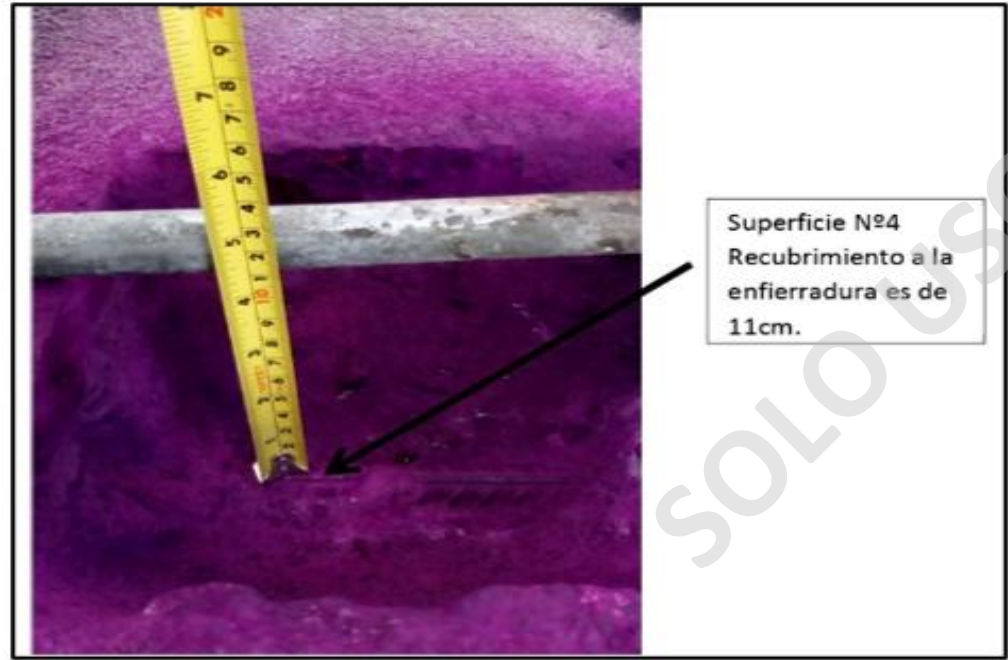


Fuente: Manual Durar (2000).



Carbonatación.

Ensayo de Carbonatación en losa



Fuente: Archivo Área de Hormigones - LNV (2018).

Ensayo Carbonatación Tablero del Puente Yelcho



Fuente: Archivo Área de Hormigones - LNV (2018).



Potencial de Corrosión

Potencial de corrosión Equipo llamado Canin + de la marca Suiza Proceq. - Mapas expresados en mV

Un campo electrostático para mover una carga positiva desde un puente al otro.

- Bectrodo de 4 ruedas, abarca longitud de 25 mts x 0,60 ancho.
- Logra imágenes, estado de corrosión de la superficie de acero dentro del hormigón.
- Los Valores de Potencial mV mas altos, los que representan menos riego de corrosión en las armaduras.

Magnitudes típicas para potencial de Corrosión

Característica del Hormigón	Magnitud típica del potencial
Hormigón saturado de agua, sin presencia de 02	De -1000 a -900 mV
Hormigón húmedo contaminado con cloruro	De -600 a -400 mV
Hormigón húmedo sin cloruro	De -200 a +100 mV
Hormigón húmedo carbonatado	De -400 a +100 mV
Hormigón seco carbonatado	De 0 a +200 mV
Hormigón seco no carbonatado	De 0 a +200 mV

Fuente: Proceq (2007).

Potencial de Corrosión- Tablero del Puente Yelcho

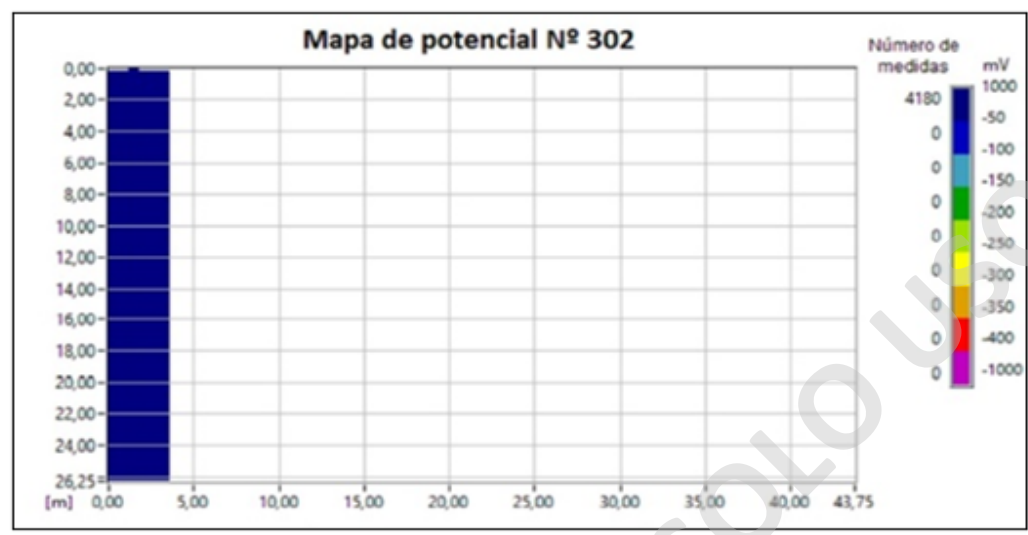


Fuente: Archivo Área de Hormigones - LNV (2018).



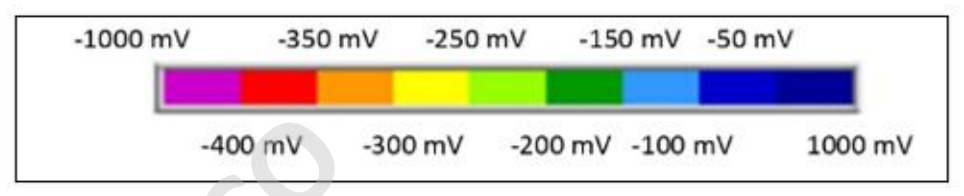
Potencial de Corrosión

Potencial de Corrosión tablero (punto central)



Fuente: Equipo Diagnóstico: No presentan corrosión las armaduras (2018).

Escala de colores- Potencial de Corrosión



Fuente: Archivo Área de Hormigones - LNV (2018).

Ejecución de la reparación a perforación realizada al tablero del Puente.



Fuente: Archivo Área de Hormigones - LNV (2018).



Índice Esclerométrico mediante Martillo Schmidt.

Prueba no destructiva de la resistencia del hormigón. **Norma** ASTM C805

Siendo su valor "R" (índice de rebote).

Proporcionan una estimación de la resistencia a compresión del hormigón basándose en la correlación entre dicha resistencia con su dureza superficial.

Medición de Índice Esclerometrico al tablero de Puente Yelcho.



Fuente: Archivo Área de Hormigones - LNV (2018).



Índice Esclerométrico mediante Martillo Schmidt.

Método preliminar, cualitativo de la calidad y homogeneidad del hormigón.

Resultados: Índice Esclerométrico Puente Yelcho

Superficie	Índice Esclerométrico (Promedio 10 mediciones)	Observación
1	58	Promedio superficie № 1 = 58 Mpa
2	51	Promedio superficie № 2 = 51 Mpa
3	60	Promedio superficie № 3 = 60 Mpa
4	63	Promedio superficie № 4 = 63 Mpa
5	64	Promedio superficie № 5 = 64 Mpa
6	57	Promedio superficie № 6 = 57 Mpa
7	43	Promedio superficie № 7 = 43 Mpa
8	42	Promedio superficie № 8 = 42 Mpa
9	46	Promedio superficie № 9 = 46 Mpa
10	63	Promedio superficie № 10 = 63 Mpa
11	48	Promedio superficie № 11 = 48 Mpa
12	59	Promedio superficie № 12 = 59 Mpa
13	59	Promedio superficie № 13 = 59 Mpa

Fuente: LNV (2018).



Resistencia a la penetración mediante Pistola Windsor:

Sonda Windsor marca Norteamericana James Instruments ASTM C803. está diseñado para medir en terreno la resistencia a la compresión del hormigón

Resultado de Resistencia a la Penetracion.

Nō	Superficie	Resistencia (Mpa)	Penetración (mm)
1	Superficie - Tablero	23.1 Mpa	44,3 mm
2	Superficie - Tablero	22.8 Mpa	44,1 mm
3	Superficie - Tablero	19.76 Mpa	42,7 mm
4	Superficie - Tablero	26.15 Mpa	45,7 mm

Fuente: LIV (2018).

Sonda impulsa carga explosiva, mide la penetración. La resistencia a la compresión del hormigón



Fuente: Archivo Área de hormigones LNV (2018)



Resistividad eléctrica del hormigón

Medida con el equipo Resipod de la marca Suiza Proceq, este equipo es una sonda Wenner y su funcionamiento consiste en aplicar una corriente a las dos sondas de prueba exteriores del equipo, y luego mide la diferencia del potencial entre las dos sondas de prueba interiores.

Mediciones de resistividad al Puente Yelcho.

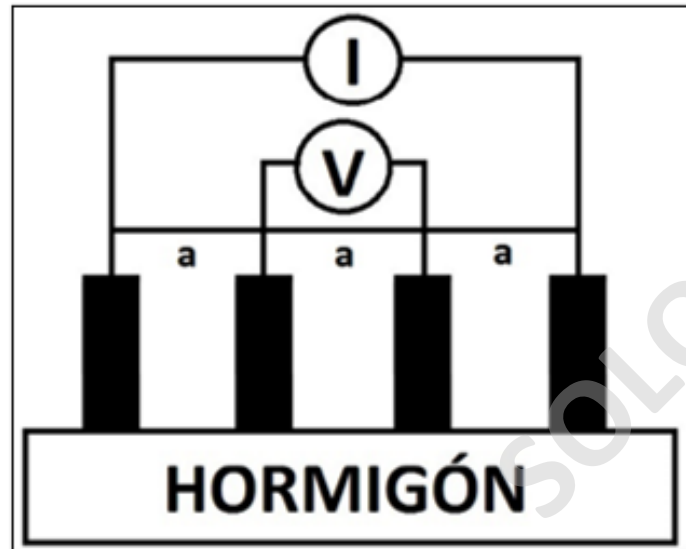


Fuente: Archivo Área de hormigones LNV (2018)



Resistividad eléctrica del hormigón

Funcionamiento Sonda Wenner.



Fuente: Archivo Área de hormigones LNV

Resultados Resistividad Puente Yelcho

Tramo o Sector	Promedio de la medición (kΩcm)	Observaciones	
1	291	La resistividad promedio de la superficie nº 1 es 291 kΩcm, se el Manual Durar esto representa Poco Riesgo de Corrosión.	
2	392	La resistividad promedio de la superficie nº 2 es 392 kΩcm, según el Manual Durar esto representa Poco Riesgo de Corrosión .	
3	128	La resistividad promedio de la superficie nº 3 es 128 kΩcm, según el Manual Durar esto representa Riesgo Moderado de Corrosión .	
4	239	La resistividad promedio de la superficie nº 4 es 239 kΩcm, según el Manual Durar esto representa Poco Riesgo de Corrosión.	
5	211	La resistividad promedio de la superficie nº 5 es 211 kΩcm, según el Manual Durar esto representa Poco Riesgo de Corrosión .	
6	317	La resistividad promedio de la superficie nº 6 es 317 kΩcm, según el Manual Durar esto representa Poco Riesgo de Corrosión .	
7	284	La resistividad promedio de la superficie nº 7 es 284 kΩcm, según el Manual Durar esto representa Poco Riesgo de Corrosión .	
8	211	La resistividad promedio de la superficie nº 8 es 211 kΩcm, según el Manual Durar esto representa Poco Riesgo de Corrosión .	
9	324	La resistividad promedio de la superficie nº 9 es 324 kΩcm, según el Manual Durar esto representa Poco Riesgo de Corrosión .	
10	321	La resistividad promedio de la superficie nº 10 es 321 kΩcm, según el Manual Durar esto representa Poco Riesgo de Corrosión.	
11	323	La resistividad promedio de la superficie nº 11 es 323 kΩcm, según el Manual Durar esto representa Poco Riesgo de Corrosión.	
12	362	La resistividad promedio de la superficie nº 12 es 362 kΩcm, según el Manual Durar esto representa Poco Riesgo de Corrosión.	

Fuente: Archivo Área de hormigones LIV



Fuente: Rickr.com.Autor: Ishi (2019)

EVALUACIÓN Y RESULTADOS DE LOS ENSAYOS NO DESTRUCTIVOS AL HORMIGÓN ARMADO



1. Permeabilidad del Hormigón

- 50% presentan permeabilidad Baja, categorizando el hormigón como Bueno.
- 50% presenta permeabilidad Moderada, categorizando el hormigón como Normal.
- El Tablero del Puente Yelcho es denso, poco poroso, el Vit de buenas características.

2. Carbonatación del Hormigón

- Se establece categóricamente que ningún elemento medido del puente Yelcho presenta Carbonatación.
- El hormigón en su ambiente altamente alcalino sigue protegiendo la armadura de la estructura del Puente.

Resumen de resultados de los Ensavos de Permeabilidad al Aire - Tablero

Resulted de les altages de les Elisayes de l'elificabilitat d'i/ille l'abiele					
Superficie	Descripción	Penetración Promedio L (mm) Promedio	Coeficiente Permeabilidad kT (10 ⁻¹⁶ m²) Promedio	Categoría del Hormigón	Permeabilidad
№ 1	Tablero parte superior O	31	0.230	Normal	Moderada
Nº 2	Tablero parte superior E	35	0.580	Normal	Moderada
Nº 3	Tablero Inferior O.	21	0.068	Bueno	Baja
Nº4	Tablero Inferior E.	26	0.050	Bueno	Baja

Resumen de Resultados de Carbonatación

Superficie	Profundidad de Recubrimiento (cm)	Profundidad de carbonatación (cm)	Profundidad sin carbonatación (cm)	Observaciones
1	6,5 cm	0 cm	6,5 cm	Sin Carbonatación
2	6,5 cm	0 cm	6,5 cm	Sin Carbonatación
3	10,0 cm	0 cm	10,0 cm	Sin Carbonatación
4	11,0 cm	0 cm	11,0 cm	Sin Carbonatación
5	14,5 cm	0 cm	14,5 cm	Sin Carbonatación
6	5,0 cm	0 cm	5,0 cm	Sin Carbonatación
7	8,0 cm	0 cm	8,0 cm	Sin Carbonatación

Fuente: LIV (2018).

EVALLACIÓN Y RESULTADOS DE LOS ENSAYOS NO DESTRUCTIVOS AL HORMIGÓN ARMADO

3. Potencial de Corrosión del Hormigón:

Se establece categóricamente, mediante mapa de potencial de corrosión obtenidos de los distintos elementos de la estructura, que **no existe corrosión** presente en la armadura del puente Yelcho.

4. Índice Esclerométrico del Hormigón

 <u>Tablero</u>: La superficie de rodadura se observa un hornigón hornogéneo con un índice esclerométrico normal en sus parámetros.

Fuente Rickr.com Autor: Miguel A Becks (2019)

Potencial de Corrosión tablero (punto central)



Fuente: Equipo Diagnóstico: No presentan corrosión las armaduras (2018).

Resultados: Índice Esclerométrico Puente Yelcho

Superficie	Índice Esclerométrico (Promedio 10 mediciones)	Observación
1	58	Promedio superficie Nº 1 = 58 Mp
2	51	Promedio superficie № 2 = 51 Mp
3	60	Promedio superficie Nº 3 = 60 Mp
4	63	Promedio superficie № 4 = 63 Mp
5	64	Promedio superficie № 5 = 64 Mp
6	57	Promedio superficie № 6 = 57 Mp
7	43	Promedio superficie № 7 = 43 Mp
8	42	Promedio superficie № 8 = 42 Mp
9	46	Promedio superficie № 9 = 46 Mp
10	63	Promedio superficie № 10 = 63 Mp
11	48	Promedio superficie Nº 11 = 48 Mp
12	59	Promedio superficie № 12 = 59 Mp
13	59	Promedio superficie Nº 13 = 59 Mp

Fuente: LNV (2018).

EVALUACIÓNY RESULTADOS DE LOS ENSAYOS NO DESTRUCTIVOS AL HORMIGÓNARMADO

5. Resistencia a la Penetración mediante Pistola Windsor:

Este método no sustituye el método de extracción de testigos y posterior ensaye a compresión, por tanto, este es un indicador, cualitativo de la calidad y homogeneidad del hormigón complementándose ambos ensayos (Windsor – esclerométrico).

 La superficie de tablero, se encuentra con un leve deterioro ya que, expuesta mayormente a los agentes climáticos, el viento, lluvia granizo y nieve.

Resultado de Resistencia a la Penetracion.

Nº	Superficie	Resistencia (Mpa)	Penetración (mm)
1	Superficie - Tablero	23.1 Mpa	44,3 mm
2	Superficie - Tablero	22.8 Mpa	44,1 mm
3	Superficie - Tablero	19.76 Mpa	42,7 mm
4	Superficie - Tablero	26.15 Mpa	45,7 mm

Fuente: LIV (2018).

Fuente: Rickr.com Autor: Ncolas Franco (2019)

EVALLACIÓNY RESULTADOS DE LOS ENSAYOS NO DESTRUCTIVOS AL HORMOÓN ARMADO

6. Resistividad Eléctrica del Hormigón:

La resistividad eléctrica es un parámetro importante que tiene directa relación con la velocidad de corrosión y el potencial de corrosión.

 En términos generales de las mediciones realizadas presentan valores altos indicando que existe poco riesgo de corrosión.

Fuente: Rickr.com Autor: Juan Carlos Verdugo (2019)

Resultados Resistividad Puente Yelcho

Tramo o Sector	Promedio de la medición (kDcm)	Observaciones
1	291	La resistividad promedio de la superficie nº 1 es 291 kCom, segúr el Manual Durar esto representa Poco Riesgo de Corrosión.
2	392	La resistividad promedio de la superficie nf 2 es 392 kΩcm, segür el Manual Durar esto representa Poco Riesgo de Corrosión.
3	128	La resistividad promedio de la superficie nt 3 es 128 kDcm, segú el Manual Durar esto representa Riesgo Moderado de Corrosión
4	239	La resistividad promedio de la superficie nº 4 es 239 kΩcm, segúr el Manual Durar esto representa Poco Riesgo de Corrosión.
5	211	La resistividad promedio de la superficie nº 5 es 211 kGcm, segúr el Manual Durar esto representa Poco Riesgo de Corrosión.
6	317	La resistividad promedio de la superficie nº 6 es 317 kGcm, segúr el Manual Durar esto representa Poco Riesgo de Corrosión.
7	284	La resistividad promedio de la superficie nº 7 es 284 kCcm, segú el Manual Durar esto representa Poco Riesgo de Corrosión.
8	211	La resistividad promedio de la superficie nº 8 es 211 kΩcm, segú el Manual Durar esto representa Poco Riesgo de Corrosión.
9	324	La resistividad promedio de la superficie nº 9 es 324 kGcm, segú el Manual Durar esto representa Poco Riesgo de Corrosión.
10	921	La resistividad promedio de la superficie nº 10 es 321 kΩcm, según el Manual Durar esto representa Poco Riesgo de Corrosió
11	323	La resistividad promedio de la superficie nº 13 es 323 kΩcm, según el Manual Durar esto representa Poco Riesgo de Corrosió
12	362	La resistividad promedio de la superficie nº 12 es 362 kCcm, según el Manual Durar esto representa Poco Riesgo de Corrosió

Fuente: LIV (2018).

RESUMENCENERAL - ANÁLISIS PLENTEYELCHO



Fuente: Rickr.com Autor: Juan Carlos Verdugo (2019)

Resumen

Resumiendo en base a los ensayos realizados por parte del Área de Hormigones del Laboratorio Nacional de Vialidad, se puede establecer que el estado general del Hormigón armado que fue auscultado en el Puente Yelcho se encuentra en buen estado de conservación, no observándose que ningún elemento de la estructura se encuentra con las armaduras corroidas, y tampoco presentan un riesgo alto de corrosión. Se sugiere tener presente y considerar como primera medida preventiva de conservación realizar evaluaciones y diagnósticos.

METODO DE INSPECCIÓN

Metodología Integral CTK-ConDiag® Índice de Deterioro - ID (Niveles de Criticidad)

			ID = Índice de Deterioro			
Id	Propiedad	Unidad	1	2	3	4
			BAJO	MEDIO	ALTO	CRÍTICO
Presencia de Grietas						
1	Visual	-	sin indicios	con fisuras	con grietas	atraviesan
2	Ancho	mm	< 0.05	0.05-0.30	0.30-1.0	>1.0
3	Profundidad	mm	0	< c/2	<= c	> c
Ingreso	de Cloruros					
4	Frente de Cloruros	mm	0	< c/2	<= c	> c
5	Cloruros al nivel de refuerzo	% peso hor.	< 0.020	0.020-0.030	0.030-0.040	> 0.040
Proceso de Carbonatación						
6	Nivel de CO ₂ ambiente	mm	< 400	< 500	< 600	> 600
7	Profundidad de Carbonatación	mm	0	< c/2	<= C	> c
8	Velocidad de Carbonatación	(mm/√a)	<4	< 7	<= 10	>10
Corrosi	ón del Acero					
9	Visual	-	sin indicios	con manchas	descascaramiento	pérdida sección
10	Diámetro Aceros	mm	> 25	25 - 18	18-12	<12
11	Resistividad	Ω m	> 200	200-100	100-50	< 50
12	Velocidad de Corrosión	(µm/año)	< 10	10 - 30	30 - 100	>100
13	Potencial de 1/2 Celda	mV	>-200	-200 -350	-350 -450	<-450
14	Pérdida de masa	%	<2	2-5	5 - 10	>10
Resiste	ncia del Hormigón					
15	Compresión Martillo Schmidt	MPa	>45	> 35	>25	< 20
16	Compresión de Testigos	MPa	>45	> 35	> 25	< 20
17	Hielo/Deshielo, Contenido de Aire	%	>6	6-4	4-2	< 2
Recubrimiento del Hormigón						
18	Visual	-	sin daño	desgaste	pérdida material	desprendimientos
19	Espesor	mm	> 65	60 - 40	40 - 20	< 20
20	Humedad Superficial	%	<2	2-4	4-6	>6
21	Permeabilidad al Aire	10 ⁻¹⁶ m ²	< 0.010	0.010-1.0	1-10	>10

Metodología Integral CTK-ConDiag® Índice de Exposición Ambiental - IEA (Niveles de Criticidad)

Clase	Fenomeno	Descripción del Ambiente	Nivel
XC1a	Carbonatación	Seco	4
XC1b		Siempre Húmedo	1
XC2		Mojado, a veces seco	2
XC3		Parcialmente húmedo	3
XC4		Variable entre húmedo y seco	3
XD1		Parcialmente húmedo	2
XD2	Cloruros Sales Descongelantes	Mojado, a veces seco	3
XD3		Variable entre húmedo y seco	4
XS1	Cloruros Agua de Mar	Aire salino	2
XS2		Sumergido	3
XS3		Variable entre húmedo y seco	4
XF1		Saturación moderada sin sales	1
XF2	Hiele/Deshiele	Saturación moderada con sales	2
XF3	Hielo/Deshielo	Saturación alta sin sales	3
XF4		Saturación alta con sales	4
XA1	Ataque Químico	Ataque suave	2
XA2		Ataque moderado	3
XA3		Ataque fuerte	4

Fuente: Metodología Integra CTK-ConDiag, (Ebensperger, CONTRUTECHNIK, 2021).

METODO DE INSPECCIÓN

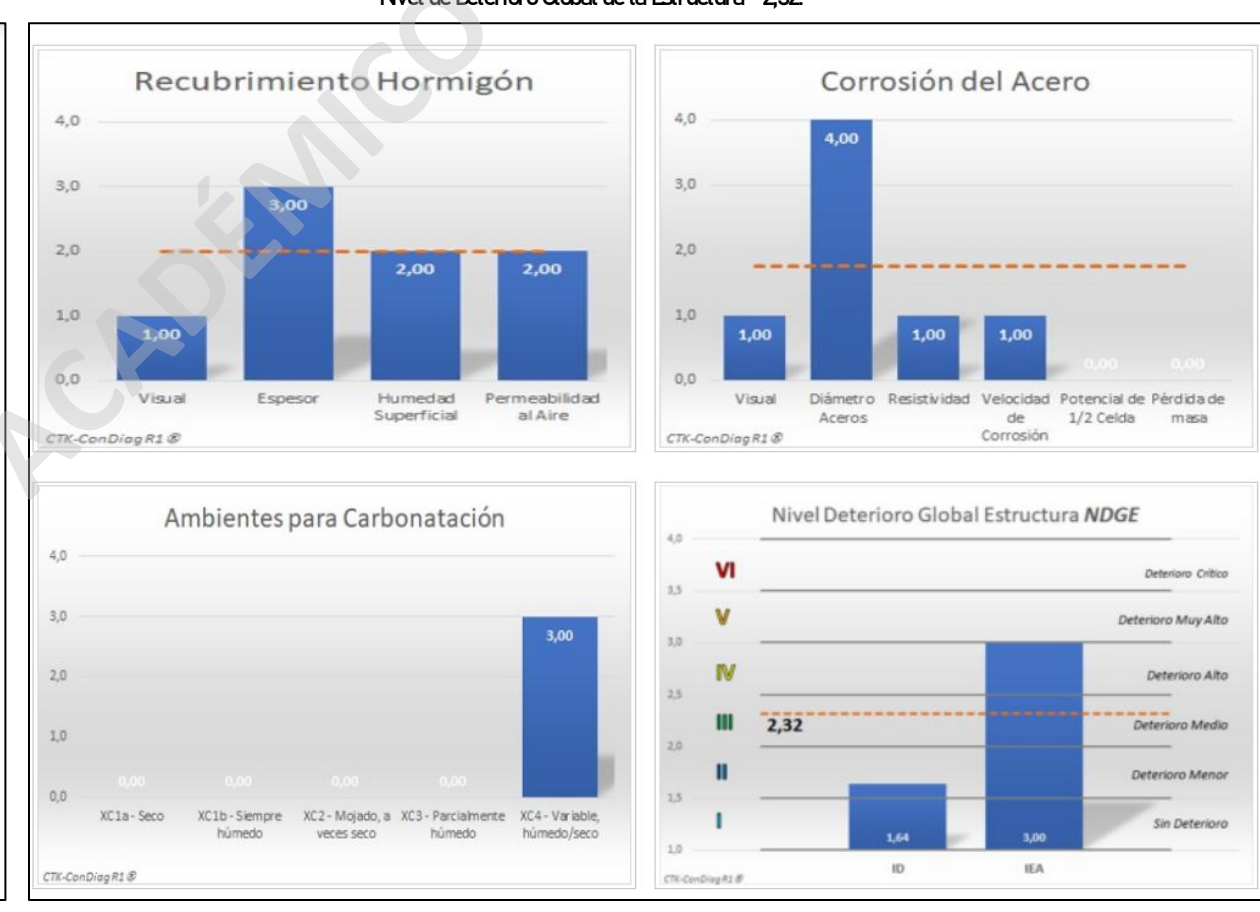
Metodología Integral CTK-ConDiag® Nivel de Deterioro Global Estructura- NDGE

Nivel de Deterioro	Descripción	NDGE
I	Sin Deterioro	1.00 - 1.50
II	Deterioro Menor	1.50 - 2.00
III	Deterioro Medio	2.00 - 2.50
IV	Deterioro Alto	2.50 - 3.00
٧	Deterioro muy Alto	3.00 - 3.50
VI	Deterioro Crítico	3.50 - 4.00

Donde,

NDGE = Prom (ID + IEA)

Nvel de Deterioro Global de la Estructura = 2,32.



Fuente: Metodología Integra CTK-ConDiag, (Ebensperger, CONTRUTED-NK, 2021).

COSTOS ACTUALIZADOS DE LOS ENSAYOS NO DESTRUCTIVOS REALIZADOS EN AL PUENTE YELOHO.

Costos entregados por la Empresa BDL-Rodney Bellido, 2022

COSTOS DE END EMPRESA DE DIAGNOSTICO DBL		
	Monto en	
Ensayos	UF	
Inspección Visual	20,00	
Ensayos con Martillos Schmidt - Resistencia	30,00	
Permeabilidad al Aire	55,00	
Radiografía Estructural - PS1000	25,00	
Radiografía Estructural - PS300	20,00	
Ensayos Niveles de Corrosión - Icor	20,00	
Potencial de Corrosión al Hormigón	30,00	
Carbonatación	30,00	
Gastos por traslado	20,00	

Costos de END en Puente Yelcho

COSTOS DE END EN PUENTE YELCHO		
Evaluación - Ensayo	Monto en UF	
Permeabilidad al Aire	55,00	
Carbonatación al Hormigón	30,00	
Potencial de Corrosión al Hormigón	30,00	
Índice Esclerómetro del Hormigón Martillo Schmidt	30,00	
Resistencia a la Penetración del Hormigón - Pistola Windsor	30,00	
Resistencia Eléctrica del Hormigón	30,00	
Total (END)	205,00	

Fuente: Baboración propia

COSTOS Y NLEVAS TECNOLOGÍAS DE ACTUALIZACIÓN DE BND RELACIONADAS CON LAS ENSAYADAS EN EL PUENTE YELCH

Costos Ensayos

COSTOS		
Evaluación - Ensayo	Monto en UF	
Permeabilidad al Aire	55,00	
Carbonatación al Hormigón	30,00	
Potencial de Corrosión al Hormigón	30,00	
Índice Esclerometrico del Hormigón Martillo Schmidt	30,00	
Resistencia a la Penetración del Hormigón - Pistola windsor	30,00	
Resistencia Eléctrica del Hormigón	35,00	
ENSAYOS RECOMENDADOS		
Ensayos Niveles de Corrosión - Icor (5 puntos)	20,00	
Radiografía Estructural PS1000	25,00	

Fuente: Baboración propia



Fuente: Hlti, (2021), Recuperado de https://www.hilti.cl

Ejemplo: Cómo sería hoy analizar el puente Yelcho con respecto a los costos con nuevos END

Evaluación de Costos propuestos para el Puente Yelcho

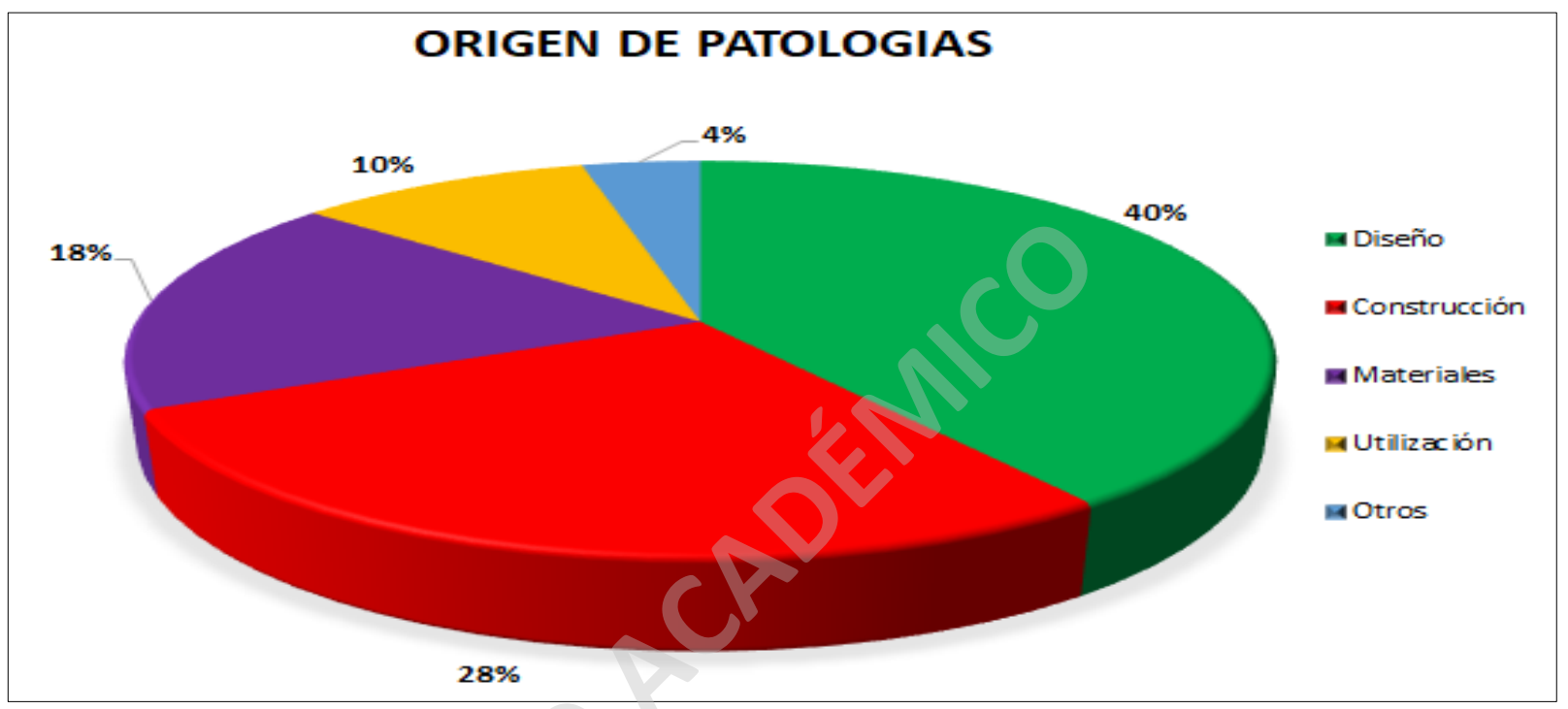
EVALUACION END - COSTOS		
Recomendación de Ensayos	Monto en UF	
Permeabilidad al Aire	55,00	
Carbonatación al Hormigón	30,00	
Índice Esclerometrico del Hormigón Martillo Schmidt	30,00	
Ensayos Niveles de Corrosión - Icor (5 puntos)	20,00	
* Tasa de corrosión		
* Potencial de Corrosión		
* Resistividad eléctrica		
Radiografía Estructural PS1000	25,00	
<u>Total</u> END	160,00	
+ I.V.A.		

Fuente: Baboración propia



Fuente: Gatec (2021), Recuperado de https://www.giatecscientific.com

CONCLUSIONES



Fuente: Elene p, Pereira (2007), Recuperado de https://www.construtechnik.cl

- Adecuarse de las nuevas tecnologías e innovación de materiales y técnicas de construcción.
- Optimización de tiempo en mantenimiento de puentes es esencial con los END.
- Menos costes y mas eficiencia de control.
- Los END en el Puente Yelcho un ejercicio practico que demuestra efectividad y potencialidad como método de control.

- Nos otorgan datos útiles, fiables para los procesos conservación y diagnostico de las estructuras
- Se realiza un mínimo impacto en la obra manteniendo completa su integridad.
- Monolito de replica en los puentes de difícil acceso para facilitar algunas pruebas.
- Los END de una necesidad a una exigencia para el desarrollo, merecen una atención más audaz de las políticas viales.